

УДК 532.5:621.694

**А.Я. Золотонос** – аспирант

**Я.Д. Золотонос** – доктор технических наук, профессор

E-mail: [zolotonosov@mail.ru](mailto:zolotonosov@mail.ru)

**Казанский государственный архитектурно-строительный университет**

## **ТЕПЛООБМЕН В АППАРАТЕ ТИПА «ТРУБА В ТРУБЕ» С ВРАЩАЮЩЕЙСЯ ТЕПЛООБМЕННОЙ ПОВЕРХНОСТЬЮ «КОНФУЗОР-ДИФФУЗОР» И ОРЕБРЕННОЙ ПРОТОЧНОЙ ЧАСТЬЮ**

### **АННОТАЦИЯ**

Работа посвящена разработке математической модели сопряженного теплообмена в аппарате типа «труба в трубе» с вращающейся теплообменной поверхностью «конфузор-диффузор» и оребренной проточной частью. Это позволит уточнить методику инженерного расчета теплообменников с вращающейся теплообменной поверхностью типа «конфузор-диффузор», а также по-новому подойти к определению конструктивных и технологических характеристик современных гравитационных аппаратов.

**КЛЮЧЕВЫЕ СЛОВА:** гидродинамика, сопряженный теплообмен, поле температур.

**A.Ya. Zolotonosov** – post-graduate student

**Ya.D. Zolotonosov** – doctor of technical sciences, professor

**Kazan State University of Architecture and Engineering**

## **HEAT EXCHANGE IN THE TYPE DEVICE «THE PIPE IN THE PIPE» WITH ROTATING HEAT-EXCHANGE THE SURFACE «KONFUZOR-DIFFUSOR» AND RIBBED THE FLOWING PART**

### **ABSTRACT**

Work is devoted development of mathematical model of conjugate heat change in the type vehicle «a tube in a tube» with gyrated heat exchange surface "confuser-diffuzor" and ribbed the setting. It will heat, to update the method of application of engineering account of heat exchangers with gyrated heat exchange surface of type "confuser-diffuzor", and also in a new fashion to approach to definition constructional and operational characteristics on modern gravitational vehicles.

**KEYWORDS:** hydrodynamics, interfaced heat exchange, a field of temperatures.

### **Введение**

Среди известных рекуперативных теплообменников особое место занимают теплообменные аппараты типа «труба в трубе» с вращающейся криволинейной поверхностью, выполненной в виде трубы из последовательно чередующихся каналов типа «конфузор-диффузор» [1]. Проточная часть таких труб выполнена оребренной [2] или неоребреной [1], а в поперечном сечении – круглой, эллиптической или овальной форм [1].

Конфигурация теплообменной поверхности для таких труб задается в процессе накатки или холодного обжатия круглых элементов трубы в разъемных штампах на гидравлическом прессе, или, в случае пружинно-витых каналов, определяется самой технологией намотки [3]. Конструктивно конфузорно-диффузорная труба в теплообменном аппарате устанавливается коаксиально и в одном из вариантов вращается относительно неподвижной внешней трубы, в другом исполнении вращается совместно с внешней трубой от общего электродвигателя или, в более общем случае, от автономных электродвигателей соответственно для внешней и внутренней труб [1]. Среди всего многообразия рассматриваемых ротационных аппаратов наибольший научный и практический интерес представляют теплообменники с вращающейся теплообменной поверхностью, выполненные с внутренней оребренной проточной частью.

Оребрение в таких каналах вызвано требованиями интенсификации процесса теплообмена, поскольку с водной стороны среднее значение  $\bar{\alpha}_g = 1300 \text{ Вт/м}^2\text{К}$ , а со стороны пара, вследствие срыва конденсатной пленки с поверхности вращающегося канала и перехода с пленочного режима

конденсации в «пленочно-капельный»,  $\bar{a}_n = 21000 \text{ Вт/м}^2\text{К}$  [4].

Внедрение таких теплообменников в промышленность сдерживается отсутствием теоретических и прикладных исследований в области гидродинамики и теплообмена в проточной части аппаратов с оребренной вращающейся теплообменной поверхностью «конфузор-диффузор» и надежных методов их инженерного расчета.

### 1. Математическая модель сопряженного теплообмена

Рассмотрим математическую модель стационарного ламинарного течения вязкой жидкости во вращающемся криволинейном конфузорно-диффузорном канале.

Рассматривается случай, когда перерабатываемая жидкость поступает во вращающуюся трубу длиной  $L_{mp}$  ( $L_{mp} \rightarrow \infty$ ) из емкости большого размера. Сечение канала изменяется по длине канала в соответствии с некоторым законом, описываемым функцией  $R(z) = -\sqrt{R_*^2 - (z-a)^2} + b$ , где  $(a, b)$  – координаты центра окружности, по которой построен профиль твердой стенки канала,  $R_*$  – радиус окружности. Канал снабжен ребрами (см. рис.).

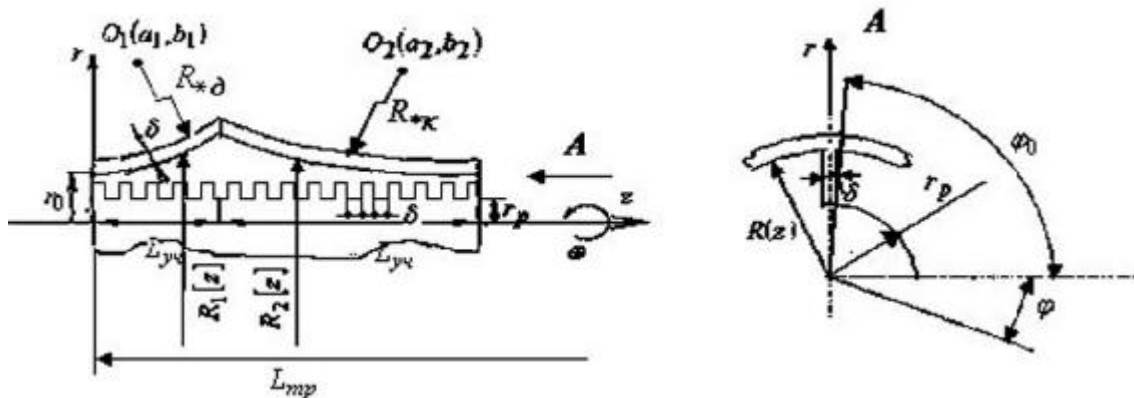


Рис. Конфузорно-диффузорный элемент

Учитывая геометрию объекта, течение вязкой жидкости во вращающейся волнистой трубе рассматриваем в цилиндрической системе координат  $(r, j, z)$ , где нулевое значение радиальной координаты  $r$  совпадает с осью трубы, координаты  $z$  – с входным сечением, а угловой координаты  $j$  – с вертикальным сечением трубы.

Тогда уравнения движения, неразрывности, энергии и теплопроводности стенок канала и ребра с учетом центробежной силы запишутся в виде [5]:

$$V(\text{grad } V) = v(\text{div grad } V) - \frac{1}{r} \text{grad } p + \omega r^2;$$

$$\text{div } V = 0; \quad V(\nabla T) = a(\text{div grad } T); \quad \text{div grad } T = 0; \quad \text{div grad } T = \frac{2\bar{a}}{l d_p} (T_p - T_{жс}) \quad (1)$$

В качестве условий однозначности для системы (1) задаются начальные распределения скорости, давления, температуры на входе в канал и граничные условия на стенках канала и ребра:

$z=0$ :

$$r=0: \quad V_r = V_j = 0; \quad V_z = u_0; \quad P = P_0; \quad \frac{\partial V}{\partial r} = \frac{\partial V}{\partial j} = \frac{\partial V}{\partial z} = \frac{\partial T}{\partial z} = 0; \quad T_{жс} = T_0; \quad T_p = T_{cp};$$

$$r=r_p: \quad V_j = \omega r_p; \quad V_r = V_z = 0; \quad T_p = T_{жс}; \quad l_p \frac{\partial T}{\partial r} = l_{жс} \frac{\partial T}{\partial r};$$

$$j=j_0: V_r=V_z=0; V_j=wr; T_p=T_{жс}; I_p \frac{\partial P}{\partial r}=I_{жс} \frac{\partial T_{жс}}{\partial r};$$

$$r=R(z): V_r=V_z=0; V_j=wR(z); T_{жс}=T_p=T_c; I_{жс} \frac{\partial T_{жс}}{\partial r}=I_c \frac{\partial T_c}{\partial r}(0, j, R(z));$$

$$r=R(z)+d: I_c \frac{\partial T_c}{\partial r}=a_n(T_n-T_c)$$

(2)

$$z=L_{yч}:$$

$$r=0: V_r=V_j=0; \frac{\partial V_r}{\partial z}=\frac{\partial V_j}{\partial z}=\frac{\partial T_{жс}}{\partial z}=\frac{\partial p}{\partial r};$$

$$r=r_p: V_j=wr_p; V_r=V_z=0; T_p=T_{жс}; I_p \frac{\partial P}{\partial r}=I_{жс} \frac{\partial T_{жс}}{\partial r};$$

$$j=j_0: V_r=V_z=0; V_j=wr; T_p=T_{жс}; I_p \frac{\partial P}{\partial r}=I_{жс} \frac{\partial T_{жс}}{\partial r};$$

$$r=R(z): V_r=V_z=0; V_f=wR(z); T_{жс}=T_p=T_c; I_{жс} \frac{\partial T_{жс}}{\partial r}=I_c \frac{\partial T_c}{\partial r};$$

$$r=R(z)+d: I_c \frac{\partial T_c}{\partial r}=a_n(T_n-T_c).$$

$$z=L_{mp}(L_{mp} \rightarrow \infty):$$

$$r=0: V_r=V_j=0; V_z=2u_{cp}; \frac{\partial V_r}{\partial z}=\frac{\partial V_j}{\partial z}=\frac{\partial V_z}{\partial z}=\frac{\partial p}{\partial r}=\frac{\partial T_{жс}}{\partial r}=0;$$

$$r=r_p: V_j=wr_p; V_r=V_z=0; T_p=T_{жс}; I_p \frac{\partial P}{\partial r}=I_{жс} \frac{\partial T_{жс}}{\partial r};$$

$$j=j_0: V_r=V_z=0; V_j=wr; T_p=T_{жс}; I_p \frac{\partial P}{\partial r}=I_{жс} \frac{\partial T_{жс}}{\partial r};$$

$$r=R(z): V_r=V_z=0; V_j=wR(z); T_{жс}=T_c; T_p=T_c; I_{жс} \frac{\partial T_{жс}}{\partial r}=I_p \frac{\partial P}{\partial r}=I_c \frac{\partial T_c}{\partial r};$$

$$r=R(z)+d: I_c \frac{\partial T_c}{\partial r}=a_n(T_n-T_c)$$

Используя преобразования координат, отобразим физическую область течения с криволинейными границами. Для этого произведем замену переменных:

$$\bar{r} = \frac{r}{R(z)}; \bar{\theta} = \frac{r-R(z)}{R(z)}; \bar{z} = \frac{z}{L_{yч}}.$$

Введем в уравнения такие безразмерные переменные и параметры:

$$\bar{a} = \frac{a}{R_*}; \bar{b} = \frac{b}{R_*}; z_* = \frac{z}{R_*}; \bar{R} = \frac{R(z)}{L_{yч}};$$

$$\%j = \frac{z}{L_{mp}}; \bar{u} = \frac{u_0}{u_{cp}}; \bar{J} = r_p \cdot j_0; \bar{I} = \frac{l_c}{I_{жс}};$$

$$\%0 = \frac{l_{жс}}{I_p}; \bar{L} = \frac{L_{yч}}{L_{mp}}; \bar{r} = \frac{r_p}{R(z)}; \%0 = \frac{d_3}{R(z)}; \bar{H} = \frac{d}{R(z)},$$

где  $L_{yч}$  – длина участка трубы (конфузор  $l_k$  или диффузор  $l_d$ );  $d$  – толщина стенки канала;  $d_3$  – эквивалентный диаметр элементов канала, вычисляемый по известным уравнениям [6].

Решение систем будем искать в виде:

$$V_r = u_0 f(\bar{z}, j, \bar{r}); V_j = w \bar{r} r_0 G(\bar{z}, j, \bar{r});$$

$$V_z = u_0 H(\bar{z}, j, \bar{r}); p - p_0 = r u_0^2 P(\bar{z}, j, \bar{r});$$

$$T_{жс}(\bar{z}, j, \bar{r}) = T_0 t_{жс}(\bar{z}, j, \bar{r}); T_n(\bar{z}, j, \bar{r}) = T_0 t_n(\bar{z}, j, \bar{r});$$

$$T_c(\%j, \bar{r}) = T_0 t_c(\%j, \bar{r}); T_p(\bar{z}, j, \bar{r}) = T_c t_p(\bar{z}, j, \bar{r});$$

$$T_{cp}(\bar{z}, j_0, \bar{r}) = T_c t^*(\bar{z}, j_0, \bar{r}); T_p(\bar{z}, j_0, \bar{r}) = T_{жс} \%(\bar{z}, j_0, \bar{r});$$

$$T_{жс}(\bar{z}, j_0, \bar{r}) = T_c \bar{t}(\bar{z}, j_0, \bar{r}).$$

Тогда краевая задача нахождения температуры в стенке канала для области  $\Omega_1 = \{(\bar{z}, j, \%0) / 0 \leq \bar{z} \leq 1, 0 \leq j \leq j_0, 0 \leq \%0 \leq \bar{H}\}$  и безразмерных компонент скоростей, поля температур в жидкости для области  $\Omega_2 = \{(\bar{z}, j, \bar{r}) / 0 \leq \bar{z} \leq 1, 0 \leq j \leq j_0, 1 \leq \bar{r} \leq 1\}$  примет вид:

$$f \frac{\partial f}{\partial \bar{r}} + \frac{NG}{\%0} \frac{\partial f}{\partial j} - H \left( \frac{\bar{r}(z_* - \bar{a})}{\sqrt{1 - (z_* - \bar{a})^2}} \frac{\partial f}{\partial \bar{r}} - \bar{R} \frac{\partial f}{\partial \bar{z}} \right) = - \frac{\partial P}{\partial \bar{r}} + \frac{\%0}{\text{Re}} \left\{ \frac{\partial^2 f}{\partial \bar{r}^2} + \frac{1}{\bar{r}} \frac{\partial f}{\partial \bar{r}} + \bar{r} \frac{\sqrt{1 - (z_* - \bar{a})^2} \left( (z_* - \bar{a})^2 + 1 \right) - \bar{b}}{\left( 1 - (z_* - \bar{a})^2 \right)^{3/2}} \frac{\partial f}{\partial \bar{r}} + \right.$$

$$\left. + \frac{1}{\bar{r}^2} \frac{\partial^2 f}{\partial j^2} + \left( \frac{\bar{r}(z_* - \bar{a})}{\sqrt{1 - (z_* - \bar{a})^2}} \right)^2 \frac{\partial^2 f}{\partial \bar{r}^2} - \frac{2\bar{r}\bar{R}(z_* - \bar{a})}{\sqrt{1 - (z_* - \bar{a})^2}} \frac{\partial^2 f}{\partial \bar{r} \partial \bar{z}} + \bar{R}^2 \frac{\partial^2 f}{\partial \bar{z}^2} - \frac{2N}{\bar{r}} \frac{\partial G}{\partial j} - \frac{f}{\bar{r}^2} \right\} + \frac{N^2 \bar{r} G^2}{\%0^2};$$

$$\left( f \frac{\partial G}{\partial \bar{r}} + \frac{NG}{\%0} \frac{\partial G}{\partial j} - H \left( \frac{\bar{r}(z_* - \bar{a})}{\sqrt{1 - (z_* - \bar{a})^2}} \frac{\partial G}{\partial \bar{r}} - \bar{R} \frac{\partial G}{\partial \bar{z}} \right) \bar{r} + 2fG \right) \bar{r} = - \frac{1}{N} \frac{\partial P}{\partial j} + \frac{\%0^2}{\text{Re}} \left\{ \frac{\partial^2 G}{\partial \bar{r}^2} + \frac{3}{\bar{r}} \frac{\partial G}{\partial \bar{r}} + \frac{1}{\bar{r}^2} \frac{\partial^2 G}{\partial j^2} + \right.$$

$$\left. + \bar{r} \frac{\sqrt{1 - (z_* - \bar{a})^2} \left( (z_* - \bar{a})^2 + 1 \right) - \bar{b}}{\left( 1 - (z_* - \bar{a})^2 \right)^{3/2}} \frac{\partial G}{\partial \bar{r}} + \left( \frac{\bar{r}(z_* - \bar{a})}{\sqrt{1 - (z_* - \bar{a})^2}} \right)^2 \frac{\partial^2 G}{\partial \bar{r}^2} - \frac{2\bar{r}\bar{R}(z_* - \bar{a})}{\sqrt{1 - (z_* - \bar{a})^2}} \frac{\partial^2 G}{\partial \bar{r} \partial \bar{z}} + \bar{R}^2 \frac{\partial^2 G}{\partial \bar{z}^2} + \frac{2}{\bar{r}^3 N} \frac{\partial G}{\partial j} \right\};$$

$$f \frac{\partial H}{\partial \bar{r}} + \frac{NG}{\%0} \frac{\partial H}{\partial j} - H \left( \frac{\bar{r}(z_* - \bar{a})}{\sqrt{1 - (z_* - \bar{a})^2}} \frac{\partial H}{\partial \bar{r}} - \bar{R} \frac{\partial H}{\partial \bar{z}} \right) = \frac{\bar{r}(z_* - \bar{a})}{\sqrt{1 - (z_* - \bar{a})^2}} \frac{\partial P}{\partial \bar{r}} - \bar{R} \frac{\partial P}{\partial \bar{z}} + \frac{\%0}{\text{Re}} \left\{ \frac{\partial^2 H}{\partial \bar{r}^2} + \frac{1}{\bar{r}} \frac{\partial H}{\partial \bar{r}} + \frac{1}{\bar{r}^2} \frac{\partial^2 H}{\partial j^2} + \right.$$

$$\left. + \bar{r} \frac{\sqrt{1 - (z_* - \bar{a})^2} \left( (z_* - \bar{a})^2 + 1 \right) - \bar{b}}{\left( 1 - (z_* - \bar{a})^2 \right)^{3/2}} \frac{\partial H}{\partial \bar{r}} + \left( \frac{\bar{r}(z_* - \bar{a})}{\sqrt{1 - (z_* - \bar{a})^2}} \right)^2 \frac{\partial^2 H}{\partial \bar{r}^2} - \frac{2\bar{r}\bar{R}(z_* - \bar{a})}{\sqrt{1 - (z_* - \bar{a})^2}} \frac{\partial^2 H}{\partial \bar{r} \partial \bar{z}} + \bar{R}^2 \frac{\partial^2 H}{\partial \bar{z}^2} \right\};$$

(3)

$$\frac{\partial f}{\partial \bar{r}} - \left( \frac{\bar{r}(z_* - \bar{a})}{\sqrt{1 - (z_* - \bar{a})^2}} \frac{\partial H}{\partial \bar{r}} - \bar{R} \frac{\partial H}{\partial \bar{z}} \right) + \frac{N}{\%0} \frac{\partial G}{\partial j} + \frac{f}{\bar{r}} = 0;$$

(4)

$$f \frac{\partial t_{жс}}{\partial \bar{r}} + \frac{NG}{\%0} \frac{\partial t_{жс}}{\partial j} - H \left( \frac{\bar{r}(z_* - \bar{a})}{\sqrt{1 - (z_* - \bar{a})^2}} \frac{\partial t_{жс}}{\partial \bar{r}} - \bar{R} \frac{\partial t_{жс}}{\partial \bar{z}} \right) = \frac{\%0}{\text{Pe}} \left\{ \frac{\partial^2 t_{жс}}{\partial \bar{r}^2} + \frac{1}{\bar{r}} \frac{\partial t_{жс}}{\partial \bar{r}} + \frac{1}{\bar{r}^2} \frac{\partial^2 t_{жс}}{\partial j^2} + \right.$$

(5)

$$\begin{aligned}
 & + \bar{r} \frac{\sqrt{1-(z_*-\bar{a})^2} \left( (z_*-\bar{a})^2 + 1 \right) - \bar{b}}{\left( 1-(z_*-\bar{a})^2 \right)^{3/2}} \frac{\partial t_{\text{жс}}}{\partial r} + \left\{ \frac{\bar{r}(z_*-\bar{a})}{\sqrt{1-(z_*-\bar{a})^2}} \right\}^2 \frac{\partial^2 t_{\text{жс}}}{\partial \bar{r}^2} - \frac{2\bar{r}\bar{R}(z_*-\bar{a})}{\sqrt{1-(z_*-\bar{a})^2}} \frac{\partial^2 t_{\text{жс}}}{\partial r \partial \bar{z}} + \bar{R}^2 \frac{\partial^2 t_{\text{жс}}}{\partial \bar{z}^2} \Bigg\}; \\
 & \frac{\partial^2 t_p}{\partial \bar{r}^2} + \frac{1}{\bar{r}} \frac{\partial t_p}{\partial \bar{r}} + \frac{1}{\bar{r}^2} \frac{\partial^2 t_p}{\partial j^2} + \bar{r} \frac{\sqrt{1-(z_*-\bar{a})^2} \left( (z_*-\bar{a})^2 + 1 \right) - \bar{b}}{\left( 1-(z_*-\bar{a})^2 \right)^{3/2}} \frac{\partial t_p}{\partial r} + \left\{ \frac{\bar{r}(z_*-\bar{a})}{\sqrt{1-(z_*-\bar{a})^2}} \right\}^2 \frac{\partial^2 t_p}{\partial \bar{r}^2} - \frac{2\bar{r}\bar{R}(z_*-\bar{a})}{\sqrt{1-(z_*-\bar{a})^2}} \frac{\partial^2 t_p}{\partial r \partial \bar{z}} + \\
 & + \bar{R}^2 \frac{\partial^2 t_p}{\partial \bar{z}^2} = \frac{2\bar{a}}{I d_p} (t_p - t_{\text{жс}});
 \end{aligned}$$

(6)

$$\begin{aligned}
 & \frac{\partial^2 t_c}{\partial \bar{\rho}^2} + \frac{1}{\bar{\rho}} \frac{\partial t_c}{\partial \bar{\rho}} + \frac{1}{\bar{\rho}^2} \frac{\partial^2 t_c}{\partial j^2} + (\bar{\rho}+1) \frac{\sqrt{1-(z_*-\bar{a})^2} \left( (z_*-\bar{a})^2 + 1 \right) - \bar{b}}{\left( 1-(z_*-\bar{a})^2 \right)^{3/2}} \frac{\partial t_c}{\partial \bar{\rho}} + \left\{ \frac{(\bar{\rho}+1)(z_*-\bar{a})}{\sqrt{1-(z_*-\bar{a})^2}} \right\}^2 \frac{\partial^2 t_c}{\partial \bar{\rho}^2} - \\
 & - \frac{2(\bar{\rho}+1)\bar{R}(z_*-\bar{a})}{\sqrt{1-(z_*-\bar{a})^2}} \frac{\partial^2 t_c}{\partial \bar{\rho} \partial \bar{z}} + \bar{R}^2 \frac{\partial^2 t_c}{\partial \bar{z}^2} = 0
 \end{aligned} \quad (7)$$

с граничными условиями

$$\bar{z} = 0: \quad \frac{\partial f}{\partial \bar{z}} = \frac{\partial G}{\partial \bar{z}} = \frac{\partial H}{\partial \bar{z}} = \frac{\partial t_{\text{жс}}}{\partial \bar{z}} = 0;$$

$$\bar{r} = 0: \quad f = 0; G = 0; H = 1; P = 0; t_{\text{жс}} = 1; t_p = t^*;$$

$$r = \bar{r}: \quad G = 1; f = 0; H = 0; t_p = t^*; \frac{\partial t_p}{\partial \bar{r}} = \bar{I}_{\text{жс}} \frac{\partial t_{\text{жс}}}{\partial \bar{r}};$$

$$f = f_0: \quad f = H = 0; G = 1; t_p = t_{\text{жс}}; \frac{\partial t_p}{\partial \bar{r}} = \bar{I}_0 \frac{\partial t_{\text{жс}}}{\partial \bar{r}};$$

$$\bar{r} = 1, \bar{\rho} = 0: \quad f = H = 0; G = 1; t_{\text{жс}} = t_c; t_p = 1; \frac{\partial t_{\text{жс}}}{\partial \bar{r}} = \bar{I}_c \frac{\partial t_c}{\partial \bar{r}};$$

$$\bar{\rho} = \bar{H}: \quad \frac{\partial t_c}{\partial \bar{r}} = Bi(t_n - t_c);$$

(8)

$$\bar{z} = \bar{L}:$$

$$r = 0: \quad f = 0; G = 0; \frac{\partial f}{\partial \bar{z}} = \frac{\partial G}{\partial \bar{z}} = \frac{\partial P}{\partial \bar{r}} = \frac{\partial t_{\text{жс}}}{\partial \bar{r}} = 0;$$

$$r = \bar{r}: \quad G = 1; f = 0; H = 0; t_p = t^*; \frac{\partial t_p}{\partial \bar{r}} = \bar{I}_{\text{жс}} \frac{\partial t_{\text{жс}}}{\partial \bar{r}};$$

$$f = f_0: \quad f = H = 0; G = 1; t_p = t^*; \frac{\partial t_p}{\partial \bar{r}} = \bar{I}_{\text{жс}} \frac{\partial t_{\text{жс}}}{\partial \bar{r}};$$

$$\bar{r} = 1, \bar{\rho} = 0: \quad f = H = 0; G = 1; t_{\text{жс}} = t_c; t_p = 1; \frac{\partial t_{\text{жс}}}{\partial \bar{r}} = \bar{I}_c \frac{\partial t_c}{\partial \bar{r}}; \bar{\rho} = 1: \quad \frac{\partial t_c}{\partial \bar{r}}(\bar{L}, f, 1) = Bi(t_n - t_c);$$

$$\bar{z} = 1:$$

$$\bar{r} = 0: \quad f = 0; G = 0; H = 2\bar{u}; \frac{\partial f}{\partial \bar{z}} = \frac{\partial G}{\partial \bar{z}} = \frac{\partial H}{\partial \bar{z}} = \frac{\partial P}{\partial \bar{r}} = \frac{\partial t_{\text{жс}}}{\partial \bar{r}} = 0;$$

$$r = \bar{r}: \quad G = 1; f = 0; H = 0; t_p = t^*; \frac{\partial t_p}{\partial \bar{r}} = \bar{I}_{\text{жс}} \frac{\partial t_{\text{жс}}}{\partial \bar{r}};$$

$$f = f_0 : f = H = 0; G = 1; t_p = t_{жс}; \frac{\partial t_p}{\partial \bar{r}} = \beta_{жс} \frac{\partial t_{жс}}{\partial \bar{r}};$$

$$\bar{r} = 1, \beta = 0 : f = H = 0; G = 1;$$

$$t_{жс} = t^*; t_p = 1;$$

$$\frac{\partial t_{жс}}{\partial \bar{r}} = \beta_p \frac{\partial t_p}{\partial \bar{r}} = \beta_c \frac{\partial t_c}{\partial \bar{r}};$$

$$\beta = \bar{H} : \frac{\partial t_c}{\partial \bar{r}} = Bi(t_n - t_c).$$

Система уравнений (3)-(7) с граничными условиями (8) составляет полную математическую модель сопряженной задачи теплообмена в оребренном канале, выполненном из конфузorno-диффузорных элементов и вращающемся с постоянной скоростью.

## 2. Алгоритм решения сопряженной задачи теплообмена в оребренном криволинейном канале типа «конфузор-диффузор»

При решении уравнений движения (3) для исключения безразмерного параметра давления  $P$  из числа неизвестных используем метод штрафа [7]. Для этого нулевую правую часть уравнения неразрывности (4) заменим произведением давления на малый штрафной параметр  $\varepsilon$  ( $\varepsilon \rightarrow 0$ ,  $Div \dot{V} \rightarrow 0$ ) [8]:

$$\frac{\partial f}{\partial \bar{r}} - \left( \frac{\bar{r}(z_* - \bar{a})}{\sqrt{1 - (z_* - \bar{a})^2}} \frac{\partial H}{\partial \bar{r}} - \bar{R} \frac{\partial H}{\partial \bar{z}} \right) + \frac{N}{\bar{R}} \frac{\partial G}{\partial j} + \frac{f}{\bar{r}} = -Pe.$$

Тогда выражение для давления будет иметь вид

$$P = -\frac{1}{\varepsilon} \left( \frac{\partial f}{\partial \bar{r}} - \left( \frac{\bar{r}(z_* - \bar{a})}{\sqrt{1 - (z_* - \bar{a})^2}} \frac{\partial H}{\partial \bar{r}} - \bar{R} \frac{\partial H}{\partial \bar{z}} \right) + \frac{N}{\bar{R}} \frac{\partial G}{\partial j} + \frac{f}{\bar{r}} \right). \quad (9)$$

Для решения задачи применим метод конечных элементов на основе метода Галеркина. Согласно основной идее метода решение системы (3)-(7) будем искать в виде линейной комбинации базисных функций:

$$\begin{aligned} f^{(e)}(\bar{z}, j, \bar{r}) &= \sum_{i=1}^8 u_i^{(e)} \Phi_i^{(e)}(\bar{z}, j, \bar{r}); & G^{(e)}(\bar{z}, j, \bar{r}) &= \sum_{i=1}^8 J_i^{(e)} \Phi_i^{(e)}(\bar{z}, j, \bar{r}); \\ H^{(e)}(\bar{z}, j, \bar{r}) &= \sum_{i=1}^8 w_i^{(e)} \Phi_i^{(e)}(\bar{z}, j, \bar{r}); & t_{жс}^{(e)}(\bar{r}, j, \bar{z}) &= \sum_{i=1}^8 t_{жсi}^{(e)} \Phi_i^{(e)}(\bar{z}, j, \bar{r}); \\ t_p^{(e)}(\bar{z}, j, \bar{r}) &= \sum_{i=1}^8 t_{pi}^{(e)} \Phi_i^{(e)}(\bar{z}, j, \bar{r}) \end{aligned} \quad (10)$$

или в матричной форме:

$$\begin{aligned} f^{(e)} &= [\Phi] \{u\}; & G^{(e)} &= [\Phi] \{J\}; & H^{(e)} &= [\Phi] \{w\}; \\ t_{жс}^{(e)} &= [\Phi] \{t_{жс}\}; & t_p^{(e)} &= [\Phi] \{t_p\} \end{aligned}$$

Здесь  $[\Phi] = [\Phi_1^e(\bar{z}, j, \bar{r}), \Phi_2^e(\bar{z}, j, \bar{r}), \dots, \Phi_8^e(\bar{z}, j, \bar{r})]$  – вектор-строка базисных функций,  $\{u\}, \{J\}, \{w\}, \{t_{жс}\}, \{t_p\}, \{t_c\}$  – вектор-столбец неизвестных узловых значений функций:

$$\{u\} = \begin{Bmatrix} u_1^{(e)} \\ u_2^{(e)} \\ \mathbf{M} \\ u_8^{(e)} \end{Bmatrix}, \{J\} = \begin{Bmatrix} J_1^{(e)} \\ J_2^{(e)} \\ \mathbf{M} \\ J_8^{(e)} \end{Bmatrix}, \{w\} = \begin{Bmatrix} w_1^{(e)} \\ w_2^{(e)} \\ \mathbf{M} \\ w_8^{(e)} \end{Bmatrix}, \{t_{\text{жс}}\} = \begin{Bmatrix} t_{\text{жс}1}^{(e)} \\ t_{\text{жс}2}^{(e)} \\ \mathbf{M} \\ t_{\text{жс}8}^{(e)} \end{Bmatrix}, \{t_c\} = \begin{Bmatrix} t_{c1}^{(e)} \\ t_{c2}^{(e)} \\ \mathbf{M} \\ t_{c8}^{(e)} \end{Bmatrix}.$$

Нижние индексы означают локальную нумерацию узлов, верхний индекс  $e$  – номер элемента.

Интегрируя уравнения (3)-(7) по объему конечного элемента, получим:

уравнения движения

$$\int_V [\Phi]^T \left( f \frac{\partial f}{\partial \bar{r}} + \frac{NG}{\bar{R}} \frac{\partial f}{\partial j} - H \left( \frac{\bar{r}(z_* - \bar{a})}{\sqrt{1 - (z_* - \bar{a})^2}} \frac{\partial f}{\partial \bar{r}} - \bar{R} \frac{\partial f}{\partial \bar{z}} \right) \right) dV = \frac{1}{e} \int_V [\Phi]^T \left( \frac{\partial^2 f}{\partial \bar{r}^2} - \right.$$

$$\left. - \left( \frac{(z_* - \bar{a})}{\sqrt{1 - (z_* - \bar{a})^2}} \frac{\partial H}{\partial \bar{r}} + \frac{\bar{r}(z_* - \bar{a})}{\sqrt{1 - (z_* - \bar{a})^2}} \frac{\partial^2 H}{\partial \bar{r}^2} - \bar{R} \frac{\partial^2 H}{\partial \bar{r} \partial \bar{z}} \right) + \frac{N}{\bar{R}} \frac{\partial^2 G}{\partial \bar{r} \partial j} - \frac{f}{\bar{r}^2} + \frac{1}{\bar{r}} \frac{\partial f}{\partial \bar{r}} \right) dV +$$

(11)

$$+ \frac{\bar{R}}{\text{Re}_V} \int_V [\Phi]^T \left\{ \frac{\partial^2 f}{\partial \bar{r}^2} + \frac{1}{\bar{r}} \frac{\partial f}{\partial \bar{r}} + \frac{1}{\bar{r}^2} \frac{\partial^2 f}{\partial j^2} + \bar{r} \frac{\sqrt{1 - (z_* - \bar{a})^2} \left( (z_* - \bar{a})^2 + 1 \right) \bar{b}}{\left( 1 - (z_* - \bar{a})^2 \right)^{3/2}} \frac{\partial f}{\partial \bar{r}} + \right.$$

$$\left. + \left( \frac{\bar{r}(z_* - \bar{a})}{\sqrt{1 - (z_* - \bar{a})^2}} \right)^2 \frac{\partial^2 f}{\partial \bar{r}^2} - \frac{2\bar{r}\bar{R}(z_* - \bar{a})}{\sqrt{1 - (z_* - \bar{a})^2}} \frac{\partial^2 f}{\partial \bar{r} \partial \bar{z}} + \bar{R}^2 \frac{\partial^2 f}{\partial \bar{z}^2} - \frac{2N}{\bar{r}} \frac{\partial G}{\partial j} - \frac{f}{\bar{r}^2} \right\} dV + \frac{N^2}{\bar{R}^2} \int_V [\Phi]^T \bar{r} G^2,$$

$$\int_V [\Phi]^T \left( f \frac{\partial G}{\partial \bar{r}} + \frac{NG}{\bar{R}} \frac{\partial G}{\partial j} - H \left( \frac{\bar{r}(z_* - \bar{a})}{\sqrt{1 - (z_* - \bar{a})^2}} \frac{\partial G}{\partial \bar{r}} - \bar{R} \frac{\partial G}{\partial \bar{z}} \right) + 2fG \right) dV = \frac{1}{Ne_V} \int_V [\Phi]^T \left( \frac{\partial^2 f}{\partial j \partial \bar{r}} \left( \frac{\bar{r}(z_* - \bar{a})}{\sqrt{1 - (z_* - \bar{a})^2}} \frac{\partial^2 H}{\partial j \partial \bar{r}} - \bar{R} \frac{\partial^2 H}{\partial j \partial \bar{z}} \right) + \frac{N \partial^2 G}{\bar{R} \partial j^2} + \frac{1}{\bar{r}} \frac{\partial f}{\partial j} \right) dV +$$

$$+ \frac{\bar{R}^2}{\text{Re}_V} \int_V [\Phi]^T \left\{ \frac{\partial^2 G}{\partial \bar{r}^2} + \frac{3\partial G}{\bar{r} \partial \bar{r}} + \frac{1}{\bar{r}^2} \frac{\partial^2 G}{\partial j^2} + \bar{r} \frac{\sqrt{1 - (z_* - \bar{a})^2} \left( (z_* - \bar{a})^2 + 1 \right) \bar{b}}{\left( 1 - (z_* - \bar{a})^2 \right)^{3/2}} \frac{\partial G}{\partial \bar{r}} + \right.$$

$$\left. + \left( \frac{\bar{r}(z_* - \bar{a})}{\sqrt{1 - (z_* - \bar{a})^2}} \right)^2 \frac{\partial^2 G}{\partial \bar{r}^2} - \frac{2\bar{r}\bar{R}(z_* - \bar{a})}{\sqrt{1 - (z_* - \bar{a})^2}} \frac{\partial^2 G}{\partial \bar{r} \partial \bar{z}} + \bar{R}^2 \frac{\partial^2 G}{\partial \bar{z}^2} + \frac{2}{\bar{r}^3 N} \frac{\partial G}{\partial j} \right\} dV,$$

(12)

$$\begin{aligned}
 & \int_V [\Phi]^T \left( f \frac{\partial H}{\partial \bar{r}} + \frac{NG}{\bar{R}} \frac{\partial H}{\partial j} - H \left( \frac{\bar{r}(z_* - \bar{a})}{\sqrt{1-(z_* - \bar{a})^2}} \frac{\partial H}{\partial \bar{r}} - \bar{R} \frac{\partial H}{\partial \bar{z}} \right) \right) dV = \frac{1}{e} \int_V [\Phi]^T \left( \frac{\bar{r}(z_* - \bar{a})}{\sqrt{1-(z_* - \bar{a})^2}} \left( \frac{\partial^2 f}{\partial \bar{r}^2} \left( \frac{(z_* - \bar{a})}{\sqrt{1-(z_* - \bar{a})^2}} \frac{\partial H}{\partial \bar{r}} + \frac{\bar{r}(z_* - \bar{a})}{\sqrt{1-(z_* - \bar{a})^2}} \frac{\partial^2 H}{\partial \bar{r}^2} - \bar{R} \frac{\partial^2 H}{\partial \bar{r} \partial \bar{z}} \right) \right. \right. \\
 & \left. \left. + \frac{N \partial^2 G}{\bar{R} \partial \bar{r} \partial j} \frac{f}{\bar{r}^2} + \frac{1 \partial f}{\bar{r} \partial \bar{r}} \right) - \bar{R} \left( \frac{\partial^2 f}{\partial \bar{z} \partial \bar{r}} \left( \frac{\bar{r}(z_* - \bar{a})}{\sqrt{1-(z_* - \bar{a})^2}} \frac{\partial^2 H}{\partial \bar{z} \partial \bar{r}} - \bar{R} \frac{\partial^2 H}{\partial \bar{z}^2} \right) + \frac{N \partial^2 G}{\bar{R} \partial \bar{z} \partial j} \frac{1 \partial f}{\bar{r} \partial \bar{z}} \right) \right) dV + \frac{\tilde{R}}{\text{Re}_V} \int_V [\Phi]^T \left\{ \frac{\partial^2 H}{\partial \bar{r}^2} + \frac{1 \partial H}{\bar{r} \partial \bar{r}} + \frac{1 \partial^2 H}{\bar{r}^2 \partial j^2} + \frac{\sqrt{1-(z_* - \bar{a})^2} \left( (z_* - \bar{a})^2 + 1 \right) - \bar{b}}{\left( 1 - (z_* - \bar{a})^2 \right)^{3/2}} \frac{\partial H}{\partial \bar{r}} + \right. \\
 & \left. + \left( \frac{\bar{r}(z_* - \bar{a})}{\sqrt{1-(z_* - \bar{a})^2}} \right)^2 \frac{\partial^2 H}{\partial \bar{r}^2} - \frac{2\bar{r}\bar{R}(z_* - \bar{a})}{\sqrt{1-(z_* - \bar{a})^2}} \frac{\partial^2 H}{\partial \bar{r} \partial \bar{z}} + \bar{R}^2 \frac{\partial^2 H}{\partial \bar{z}^2} \right\} dV,
 \end{aligned}$$

(13)

уравнение энергии

$$\begin{aligned}
 & \int_V [\Phi]^T \left( f \frac{\partial t_{\text{жс}}}{\partial \bar{r}} + \frac{NG}{\tilde{R}} \frac{\partial t_{\text{жс}}}{\partial j} - H \left( \frac{\bar{r}(z_* - \bar{a})}{\sqrt{1-(z_* - \bar{a})^2}} \frac{\partial t_{\text{жс}}}{\partial \bar{r}} - \bar{R} \frac{\partial t_{\text{жс}}}{\partial \bar{z}} \right) \right) dV = \frac{\tilde{R}}{Pe_V} \int_V [\Phi]^T \left\{ \frac{\partial^2 t_{\text{жс}}}{\partial \bar{r}^2} + \right. \\
 & \left. + \frac{1}{\bar{r}} \frac{\partial t_{\text{жс}}}{\partial \bar{r}} + \frac{1}{\bar{r}^2} \frac{\partial^2 t_{\text{жс}}}{\partial j^2} + \frac{\sqrt{1-(z_* - \bar{a})^2} \left( (z_* - \bar{a})^2 + 1 \right) - \bar{b}}{\left( 1 - (z_* - \bar{a})^2 \right)^{3/2}} \frac{\partial t_{\text{жс}}}{\partial \bar{r}} + \left( \frac{\bar{r}(z_* - \bar{a})}{\sqrt{1-(z_* - \bar{a})^2}} \right)^2 \frac{\partial^2 t_{\text{жс}}}{\partial \bar{r}^2} - \frac{2\bar{r}\bar{R}(z_* - \bar{a})}{\sqrt{1-(z_* - \bar{a})^2}} \frac{\partial^2 t_{\text{жс}}}{\partial \bar{r} \partial \bar{z}} + \bar{R}^2 \frac{\partial^2 t_{\text{жс}}}{\partial \bar{z}^2} \right\} dV,
 \end{aligned} \tag{14}$$

уравнение теплопроводности стенок канала

$$\begin{aligned}
 & \int_V [\Phi]^T \left( \frac{\partial^2 t_c}{\partial \bar{r}^2} + \frac{1}{(\tilde{r}+1)} \frac{\partial t_c}{\partial \bar{r}} + \frac{1}{(\tilde{r}+1)^2} \frac{\partial^2 t_c}{\partial j^2} + (\tilde{r}+1) \frac{\sqrt{1-(z_* - \bar{a})^2} \left( (z_* - \bar{a})^2 + 1 \right) - \bar{b}}{\left( 1 - (z_* - \bar{a})^2 \right)^{3/2}} \frac{\partial t_c}{\partial \bar{r}} + \right. \\
 & \left. + \left( \frac{(\tilde{r}+1)(z_* - \bar{a})}{\sqrt{1-(z_* - \bar{a})^2}} \right)^2 \frac{\partial^2 t_c}{\partial \bar{r}^2} - \frac{2(\tilde{r}+1)\bar{R}(z_* - \bar{a})}{\sqrt{1-(z_* - \bar{a})^2}} \frac{\partial^2 t_c}{\partial \bar{r} \partial \bar{z}} + \bar{R}^2 \frac{\partial^2 t_c}{\partial \bar{z}^2} \right) dV = 0,
 \end{aligned}$$

(15)

Уравнение теплопроводности ребра

$$\begin{aligned}
 & \int_V [\Phi]^T \left( \frac{\partial^2 t_p}{\partial \bar{r}^2} + \frac{1}{\bar{r}} \frac{\partial t_p}{\partial \bar{r}} + \frac{1}{\bar{r}^2} \frac{\partial t_p}{\partial f} + \frac{\sqrt{1-(z_* - \bar{a})^2} \left( (z_* - \bar{a})^2 + 1 \right) - \bar{b}}{\left( 1 - (z_* - \bar{a})^2 \right)^{3/2}} \frac{\partial t_p}{\partial \bar{r}} + \right. \\
 & \left. + \left( \frac{\bar{r}(z_* - \bar{a})}{\sqrt{1-(z_* - \bar{a})^2}} \right)^2 \frac{\partial^2 t_p}{\partial \bar{r}^2} - \frac{2\bar{r}\bar{R}(z_* - \bar{a})}{\sqrt{1-(z_* - \bar{a})^2}} \frac{\partial^2 t_p}{\partial \bar{r} \partial \bar{z}} + \bar{R}^2 \frac{\partial^2 t_p}{\partial \bar{z}^2} \right) dV = \frac{2\bar{a}}{1d} \int_V [\Phi]^T (t_p - t_{\text{жс}}) dV.
 \end{aligned} \tag{16}$$

Так как в качестве базисных функций выбраны функции нулевого порядка непрерывности, то уравнения (11-16) должны содержать производные порядка не выше первого. В целях понижения порядка производных, учитывая граничные условия (8) и с учетом интеграла (17) [8, 9],

$$\int_V [\Phi]^T \frac{\partial^2 c}{\partial \bar{r}^2} dV = \int_S [\Phi]^T \frac{\partial c}{\partial \bar{r}} l_r dS - \int_V \frac{\partial [\Phi]^T}{\partial \bar{r}} \frac{\partial c}{\partial \bar{r}} dV, \tag{17}$$

уравнения (11)-(16) преобразуются к виду:

уравнения движения



$$\begin{aligned}
 & \int_V [\Phi]^T \left( f \frac{\partial f}{\partial \bar{r}} + \frac{NG}{\bar{R}} \frac{\partial f}{\partial j} - H \left( \frac{\bar{r}(z_* - \bar{a})}{\sqrt{1-(z_* - \bar{a})^2}} \frac{\partial f}{\partial \bar{r}} - \bar{R} \frac{\partial f}{\partial \bar{z}} \right) \right) dV + \frac{1}{e} \int_V \left( \frac{\partial [\Phi]^T}{\partial \bar{r}} \frac{\partial f}{\partial \bar{r}} - \frac{\bar{r}(z_* - \bar{a})}{\sqrt{1-(z_* - \bar{a})^2}} \frac{\partial [\Phi]^T}{\partial \bar{r}} \frac{\partial H}{\partial \bar{r}} + \right. \\
 & + \bar{R} \frac{\partial [\Phi]^T}{\partial \bar{r}} \frac{\partial H}{\partial \bar{z}} + \frac{N}{\bar{R}} \frac{\partial [\Phi]^T}{\partial \bar{r}} \frac{\partial G}{\partial j} \left. \right) dV + \frac{1}{e} \int_V [\Phi]^T \left( \frac{(z_* - \bar{a})}{\sqrt{1-(z_* - \bar{a})^2}} \frac{\partial H}{\partial \bar{r}} + \frac{f}{\bar{r}^2} - \frac{1}{\bar{r}} \frac{\partial f}{\partial \bar{r}} \right) dV + \\
 & + \frac{\tilde{R}}{\text{Re}} \int_V \left\{ \frac{\partial [\Phi]^T}{\partial \bar{r}} \frac{\partial f}{\partial \bar{r}} + \frac{1}{\bar{r}^2} \frac{\partial [\Phi]^T}{\partial j} \frac{\partial f}{\partial j} + \left( \frac{\bar{r}(z_* - \bar{a})}{\sqrt{1-(z_* - \bar{a})^2}} \right)^2 \frac{\partial [\Phi]^T}{\partial \bar{r}} \frac{\partial f}{\partial \bar{r}} - \frac{2\bar{r}\bar{R}(z_* - \bar{a})}{\sqrt{1-(z_* - \bar{a})^2}} \frac{\partial [\Phi]^T}{\partial \bar{r}} \frac{\partial f}{\partial \bar{z}} + \right. \\
 & \left. + \bar{R}^2 \frac{\partial [\Phi]^T}{\partial \bar{z}} \frac{\partial f}{\partial \bar{z}} \right\} dV - \frac{\tilde{R}}{\text{Re}} \int_V [\Phi]^T \left( \frac{1}{\bar{r}} \frac{\partial f}{\partial \bar{r}} + \bar{r} \frac{\sqrt{1-(z_* - \bar{a})^2} \left( (z_* - \bar{a})^2 + 1 \right) - \bar{b}}{(1-(z_* - \bar{a})^2)^{3/2}} \frac{\partial f}{\partial \bar{r}} + \frac{2N}{\bar{r}} \frac{\partial G}{\partial j} + \frac{f}{\bar{r}^2} \right) dV +
 \end{aligned}$$

(18)

$$\begin{aligned}
 & + \frac{1}{2} \int_V [\Phi]^T \left( \frac{\partial f}{\partial \bar{r}} - \left( \frac{\bar{r}(z_* - \bar{a})}{\sqrt{1-(z_* - \bar{a})^2}} \frac{\partial H}{\partial \bar{r}} - \bar{R} \frac{\partial H}{\partial \bar{z}} \right) + \frac{N}{\tilde{R}} \frac{\partial G}{\partial j} + \frac{f}{\bar{r}} \right) f dV - \frac{N^2}{\tilde{R}^2} \int_V [\Phi]^T \bar{r} G^2 dV = 0, \\
 & \int_V [\Phi]^T \left( f \frac{\partial G}{\partial \bar{r}} + \frac{NG}{\bar{R}} \frac{\partial G}{\partial j} - H \left( \frac{\bar{r}(z_* - \bar{a})}{\sqrt{1-(z_* - \bar{a})^2}} \frac{\partial G}{\partial \bar{r}} - \bar{R} \frac{\partial G}{\partial \bar{z}} \right) \bar{r} + 2fG \right) \bar{r} dV - \frac{1}{Ne} \int_V \frac{[\Phi]^T}{\bar{r}} \frac{\partial f}{\partial j} dV + \\
 & + \frac{1}{Ne} \int_V \left( \frac{\partial [\Phi]^T}{\partial j} \frac{\partial f}{\partial \bar{r}} \left( \frac{\bar{r}(z_* - \bar{a})}{\sqrt{1-(z_* - \bar{a})^2}} \frac{\partial [\Phi]^T}{\partial j} \frac{\partial H}{\partial \bar{r}} - \bar{R} \frac{\partial [\Phi]^T}{\partial j} \frac{\partial H}{\partial \bar{z}} \right) + \frac{N}{\tilde{R}} \frac{\partial [\Phi]^T}{\partial j} \frac{\partial G}{\partial j} \right) dV + \\
 & + \frac{\tilde{R}^2}{\text{Re}} \int_V \left\{ \frac{\partial [\Phi]^T}{\partial \bar{r}} \frac{\partial G}{\partial \bar{r}} + \frac{1}{\bar{r}^2} \frac{\partial [\Phi]^T}{\partial j} \frac{\partial G}{\partial j} + \left( \frac{\bar{r}(z_* - \bar{a})}{\sqrt{1-(z_* - \bar{a})^2}} \right)^2 \frac{\partial [\Phi]^T}{\partial \bar{r}} \frac{\partial G}{\partial \bar{r}} - \frac{2\bar{r}\bar{R}(z_* - \bar{a})}{\sqrt{1-(z_* - \bar{a})^2}} \frac{\partial [\Phi]^T}{\partial \bar{r}} \frac{\partial G}{\partial \bar{z}} + \right. \\
 & \left. + \bar{R}^2 \frac{\partial [\Phi]^T}{\partial \bar{z}} \frac{\partial G}{\partial \bar{z}} \right\} dV - \frac{\tilde{R}^2}{\text{Re}} \int_V [\Phi]^T \left( \frac{3}{\bar{r}} \frac{\partial G}{\partial \bar{r}} + \bar{r} \frac{\sqrt{1-(z_* - \bar{a})^2} \left( (z_* - \bar{a})^2 + 1 \right) - \bar{b}}{(1-(z_* - \bar{a})^2)^{3/2}} \frac{\partial G}{\partial \bar{r}} + \frac{2}{\bar{r}^3 N} \frac{\partial G}{\partial j} \right) dV + \\
 & + \frac{1}{2} \int_V [\Phi]^T \left( \frac{\partial f}{\partial \bar{r}} \left( \frac{\bar{r}(z_* - \bar{a})}{\sqrt{1-(z_* - \bar{a})^2}} \frac{\partial H}{\partial \bar{r}} - \bar{R} \frac{\partial H}{\partial \bar{z}} \right) + \frac{N}{\tilde{R}} \frac{\partial G}{\partial j} + \frac{f}{\bar{r}} \right) G dV = 0,
 \end{aligned}$$

(19)

$$\begin{aligned}
 & \int_V [\Phi]^T \left( f \frac{\partial H}{\partial \bar{r}} + \frac{NG}{\tilde{R}} \frac{\partial H}{\partial j} - H \left( \frac{\bar{r}(z_* - \bar{a})}{\sqrt{1-(z_* - \bar{a})^2}} \frac{\partial H}{\partial \bar{r}} - \bar{R} \frac{\partial H}{\partial \bar{z}} \right) \right) dV + \frac{1}{e} \int_V [\Phi]^T \left( \frac{(z_* - \bar{a})}{\sqrt{1-(z_* - \bar{a})^2}} [\Phi]^T \frac{\partial H}{\partial \bar{r}} + \frac{f}{\bar{r}^2} - \frac{1}{\bar{r}} \frac{\partial f}{\partial \bar{r}} \right) dV + \\
 & + \frac{1}{e} \int_V \left( \frac{\bar{r}(z_* - \bar{a})}{\sqrt{1-(z_* - \bar{a})^2}} \left( \frac{\partial [\Phi]^T}{\partial \bar{r}} \frac{\partial f}{\partial \bar{r}} \left( \frac{\bar{r}(z_* - \bar{a})}{\sqrt{1-(z_* - \bar{a})^2}} \frac{\partial [\Phi]^T}{\partial \bar{r}} \frac{\partial H}{\partial \bar{r}} - \bar{R} \frac{\partial [\Phi]^T}{\partial \bar{r}} \frac{\partial H}{\partial \bar{z}} \right) + \right. \\
 & \left. + \frac{N}{\tilde{R}} \frac{\partial [\Phi]^T}{\partial \bar{r}} \frac{\partial G}{\partial j} \right) \bar{R} \left( \frac{\partial [\Phi]^T}{\partial \bar{z}} \frac{\partial f}{\partial \bar{r}} \left( \frac{\bar{r}(z_* - \bar{a})}{\sqrt{1-(z_* - \bar{a})^2}} \frac{\partial [\Phi]^T}{\partial \bar{z}} \frac{\partial H}{\partial \bar{r}} - \bar{R} \frac{\partial [\Phi]^T}{\partial \bar{z}} \frac{\partial H}{\partial \bar{z}} \right) + \frac{N}{\tilde{R}} \frac{\partial [\Phi]^T}{\partial \bar{z}} \frac{\partial G}{\partial j} \right) \right) dV -
 \end{aligned}$$

$$\begin{aligned}
 & -\frac{1}{e} \int_V \frac{[\Phi]^T}{\bar{r}} \frac{\partial f}{\partial \bar{z}} dV + \frac{\tilde{R}}{\text{Re}} \int_V \left\{ \frac{\partial[\Phi]^T}{\partial \bar{r}} \frac{\partial H}{\partial \bar{r}} + \frac{1}{\bar{r}^2} \frac{\partial[\Phi]^T}{\partial j} \frac{\partial H}{\partial j} + \left( \frac{\bar{r}(z_* - \bar{a})}{\sqrt{1-(z_* - \bar{a})^2}} \right)^2 \frac{\partial[\Phi]^T}{\partial \bar{r}} \frac{\partial H}{\partial \bar{r}} + \frac{2\bar{r}\bar{R}(z_* - \bar{a})}{\sqrt{1-(z_* - \bar{a})^2}} \frac{\partial[\Phi]^T}{\partial \bar{r}} \frac{\partial H}{\partial \bar{z}} + \right. \\
 & \left. + \bar{R}^2 \frac{\partial[\Phi]^T}{\partial \bar{z}} \frac{\partial H}{\partial \bar{z}} \right\} dV - \frac{\tilde{R}}{\text{Re}} \int_V [\Phi]^T \left( \frac{1}{\bar{r}} \frac{\partial H}{\partial \bar{r}} + \bar{r} \frac{\sqrt{1-(z_* - \bar{a})^2} \left( (z_* - \bar{a})^2 + 1 \right) - \bar{b}}{\left( 1 - (z_* - \bar{a})^2 \right)^{3/2}} \frac{\partial H}{\partial \bar{r}} \right) dV + \\
 & + \frac{1}{2} \int_V [\Phi]^T \left( \frac{\partial f}{\partial \bar{r}} - \left( \frac{\bar{r}(z_* - \bar{a})}{\sqrt{1-(z_* - \bar{a})^2}} \frac{\partial H}{\partial \bar{r}} - \bar{R} \frac{\partial H}{\partial \bar{z}} \right) + \frac{N}{\tilde{R}} \frac{\partial G}{\partial j} + \frac{f}{\bar{r}} \right) H dV = 0,
 \end{aligned}
 \tag{20}$$

уравнение энергии

$$\begin{aligned}
 & \int_V [\Phi]^T \left( f \frac{\partial t}{\partial \bar{r}} + \frac{NG}{\tilde{R}} \frac{\partial t}{\partial j} - H \left( \frac{\bar{r}(z_* - \bar{a})}{\sqrt{1-(z_* - \bar{a})^2}} \frac{\partial t}{\partial \bar{r}} - \bar{R} \frac{\partial t}{\partial \bar{z}} \right) \right) dV + \frac{\tilde{R}}{Pe} \int_V \left\{ \frac{\partial[\Phi]^T}{\partial \bar{r}} \frac{\partial t}{\partial \bar{r}} - \right. \\
 & \left. + \left( \frac{\bar{r}(z_* - \bar{a})}{\sqrt{1-(z_* - \bar{a})^2}} \right)^2 \frac{\partial[\Phi]^T}{\partial \bar{r}} \frac{\partial t}{\partial \bar{r}} + \frac{1}{\bar{r}^2} \frac{\partial[\Phi]^T}{\partial j} \frac{\partial t}{\partial j} - \frac{2\bar{r}\bar{R}(z_* - \bar{a})}{\sqrt{1-(z_* - \bar{a})^2}} \frac{\partial[\Phi]^T}{\partial \bar{r}} \frac{\partial t}{\partial \bar{z}} + \bar{R}^2 \frac{\partial[\Phi]^T}{\partial \bar{z}} \frac{\partial t}{\partial \bar{z}} \right\} dV - \\
 & - \frac{\tilde{R}}{Pe} \int_V [\Phi]^T \left( \frac{1}{\bar{r}} \frac{\partial t}{\partial \bar{r}} + \bar{r} \frac{\sqrt{1-(z_* - \bar{a})^2} \left( (z_* - \bar{a})^2 + 1 \right) - \bar{b}}{\left( 1 - (z_* - \bar{a})^2 \right)^{3/2}} \frac{\partial t}{\partial \bar{r}} \right) dV = 0,
 \end{aligned}
 \tag{21}$$

уравнение теплопроводности стенок канала

$$\begin{aligned}
 & \int_V \left( \frac{\partial[\Phi]^T}{\partial \bar{r}} \frac{\partial t_c}{\partial \bar{r}} - \frac{[\Phi]^T}{\bar{r}} \frac{\partial t_c}{\partial \bar{r}} + \frac{1}{\bar{r}^2} \frac{\partial[\Phi]^T}{\partial j} \frac{\partial t_c}{\partial j} - [\Phi]^T (\bar{r} + 1) \frac{\sqrt{1-(z_* - \bar{a})^2} \left( (z_* - \bar{a})^2 + 1 \right) - \bar{b}}{\left( 1 - (z_* - \bar{a})^2 \right)^{3/2}} \frac{\partial t_c}{\partial \bar{r}} + \right. \\
 & \left. + \left( \frac{(\bar{r} + 1)(z_* - \bar{a})}{\sqrt{1-(z_* - \bar{a})^2}} \right)^2 \frac{\partial[\Phi]^T}{\partial \bar{r}} \frac{\partial t_c}{\partial \bar{r}} - \frac{2(\bar{r} + 1)\bar{R}(z_* - \bar{a})}{\sqrt{1-(z_* - \bar{a})^2}} \frac{\partial[\Phi]^T}{\partial \bar{r}} \frac{\partial t_c}{\partial \bar{z}} + \bar{R}^2 \frac{\partial[\Phi]^T}{\partial \bar{z}} \frac{\partial t_c}{\partial \bar{z}} \right) dV = 0,
 \end{aligned}
 \tag{22}$$

Уравнение теплопроводности ребра

$$\begin{aligned}
 & \int_V \left( \frac{\partial[\Phi]^T}{\partial \bar{r}} \frac{\partial t_p}{\partial \bar{r}} + \frac{1}{\bar{r}^2} \frac{\partial[\Phi]^T}{\partial j} \frac{\partial t_p}{\partial j} + \left( \frac{\bar{r}(z_* - \bar{a})}{\sqrt{1-(z_* - \bar{a})^2}} \right)^2 \frac{\partial[\Phi]^T}{\partial \bar{r}} \frac{\partial t_p}{\partial \bar{r}} - \frac{2\bar{r}\bar{R}(z_* - \bar{a})}{\sqrt{1-(z_* - \bar{a})^2}} \frac{\partial[\Phi]^T}{\partial \bar{r}} \frac{\partial t_p}{\partial \bar{z}} + \right. \\
 & \left. + \bar{R}^2 \frac{\partial[\Phi]^T}{\partial \bar{z}} \frac{\partial t_p}{\partial \bar{z}} \right) dV - \int_V [\Phi]^T \left( \frac{1}{\bar{r}} \frac{\partial t_p}{\partial \bar{r}} + \bar{r} \frac{\sqrt{1-(z_* - \bar{a})^2} \left( (z_* - \bar{a})^2 + 1 \right) - \bar{b}}{\left( 1 - (z_* - \bar{a})^2 \right)^{3/2}} \frac{\partial t_p}{\partial \bar{r}} \right) dV + \frac{2\bar{a}}{l} \int_V [\Phi]^T \left( t_p - t_c \right) dV = 0.
 \end{aligned}
 \tag{23}$$

Заменим искомые функции в уравнениях (18)-(23) их пробными аппроксимациями, и, вычислив интегралы по области элементов с помощью квадратурной формулы Гаусса, получим систему алгебраических уравнений относительно неизвестных значений функций в узлах элемента:  
уравнения движения

$$\begin{aligned}
 & \int_V [\Phi]^T [\Phi] \left\{ \{u\} \frac{\partial[\Phi]}{\partial \bar{r}} + \frac{N\{J\}}{\tilde{R}} \frac{\partial[\Phi]}{\partial j} - \{w\} \left( \frac{\bar{r}(z_* - \bar{a})}{\sqrt{1-(z_* - \bar{a})^2}} \frac{\partial[\Phi]}{\partial \bar{r}} - \bar{R} \frac{\partial[\Phi]}{\partial \bar{z}} \right) \right\} \{u\} dV + \frac{1}{e} \int_V \left( \frac{\partial[\Phi]^T}{\partial \bar{r}} \frac{\partial[\Phi]}{\partial \bar{r}} + \right. \\
 & + [\Phi]^T \left( \frac{(z_* - \bar{a})}{\sqrt{1-(z_* - \bar{a})^2}} \frac{\partial[\Phi]}{\partial \bar{r}} + \frac{\bar{r}(z_* - \bar{a})}{\sqrt{1-(z_* - \bar{a})^2}} \frac{\partial[\Phi]^T}{\partial \bar{r}} \frac{\partial[\Phi]}{\partial \bar{r}} - \bar{R} \frac{\partial[\Phi]^T}{\partial \bar{r}} \frac{\partial[\Phi]}{\partial \bar{z}} \right) \{w\} + \\
 & \left. + \frac{N}{\tilde{R}} \frac{\partial[\Phi]^T}{\partial \bar{r}} \frac{\partial[\Phi]}{\partial j} \{J\} - \frac{[\Phi]}{\bar{r}^2} \{u\} + \frac{1}{\bar{r}} \frac{\partial[\Phi]}{\partial \bar{r}} \{u\} \right) dV + \\
 & + \frac{\tilde{R}}{\text{Re}} \int_V \left\{ \left( \frac{\partial[\Phi]^T}{\partial \bar{r}} \frac{\partial[\Phi]}{\partial \bar{r}} - \frac{[\Phi]^T}{\bar{r}} \frac{\partial[\Phi]}{\partial \bar{r}} + \frac{1}{\bar{r}^2} \frac{\partial[\Phi]^T}{\partial j} \frac{\partial[\Phi]}{\partial j} - \bar{r} [\Phi]^T \frac{\sqrt{1-(z_* - \bar{a})^2} ((z_* - \bar{a})^2 + 1) - \bar{b}}{(1-(z_* - \bar{a})^2)^{3/2}} \frac{\partial[\Phi]}{\partial \bar{r}} + \right. \right. \\
 & + 2[\Phi]^T \bar{r} \left( \frac{(z_* - \bar{a})}{\sqrt{1-(z_* - \bar{a})^2}} \right)^2 \frac{\partial[\Phi]}{\partial \bar{r}} - \frac{2[\Phi]^T \bar{R}(z_* - \bar{a})}{\sqrt{1-(z_* - \bar{a})^2}} \frac{\partial[\Phi]}{\partial \bar{z}} + \left. \left( \frac{\bar{r}(z_* - \bar{a})}{\sqrt{1-(z_* - \bar{a})^2}} \right)^2 \frac{\partial[\Phi]^T}{\partial \bar{r}} \frac{\partial[\Phi]}{\partial \bar{r}} - \right. \\
 & \left. \left. - \frac{2\bar{r}\bar{R}(z_* - \bar{a})}{\sqrt{1-(z_* - \bar{a})^2}} \frac{\partial[\Phi]^T}{\partial \bar{r}} \frac{\partial[\Phi]}{\partial \bar{z}} + \bar{R}^2 \frac{\partial[\Phi]^T}{\partial \bar{z}} \frac{\partial[\Phi]}{\partial \bar{z}} \right) \{u\} + \frac{2N[\Phi]^T}{\bar{r}} \frac{\partial[\Phi]}{\partial j} \{J\} + \frac{[\Phi]^T [\Phi]}{\bar{r}^2} \{u\} \right\} dV + \quad (24) \\
 & + \frac{1}{2} \int_V [\Phi]^T [\Phi] \left\{ \frac{\partial[\Phi]}{\partial \bar{r}} \{u\} - \left( \frac{\bar{r}(z_* - \bar{a})}{\sqrt{1-(z_* - \bar{a})^2}} \frac{\partial[\Phi]}{\partial \bar{r}} - \bar{R} \frac{\partial[\Phi]}{\partial \bar{z}} \right) \{w\} + \frac{N}{\tilde{R}} \frac{\partial[\Phi]}{\partial j} \{J\} + \frac{[\Phi]\{u\}}{\bar{r}} \right\} \{u\} dV = \\
 & = \frac{N^2}{\tilde{R}^2} \int_V [\Phi]^T [\Phi] \bar{r} [\Phi] \{J\} dV, \\
 & \int_V [\Phi]^T [\Phi] \left\{ \{u\} \frac{\partial[\Phi]}{\partial \bar{r}} + \frac{N\{J\}}{\tilde{R}} \frac{\partial[\Phi]}{\partial j} - \{w\} \left( \frac{\bar{r}(z_* - \bar{a})}{\sqrt{1-(z_* - \bar{a})^2}} \frac{\partial[\Phi]}{\partial \bar{r}} - \bar{R} \frac{\partial[\Phi]}{\partial \bar{z}} \right) \right\} \bar{r} \{J\} + 2\{u\} [\Phi] \{J\} \bar{r} dV + \\
 & + \frac{1}{Ne} \int_V \left( \frac{\partial[\Phi]^T}{\partial j} \frac{\partial[\Phi]}{\partial \bar{r}} \{u\} - \left( \frac{\bar{r}(z_* - \bar{a})}{\sqrt{1-(z_* - \bar{a})^2}} \frac{\partial[\Phi]^T}{\partial j} \frac{\partial[\Phi]}{\partial \bar{r}} - \bar{R} \frac{\partial[\Phi]^T}{\partial j} \frac{\partial[\Phi]}{\partial \bar{z}} \right) \{w\} + \frac{N}{\tilde{R}} \frac{\partial[\Phi]^T}{\partial j} \frac{\partial[\Phi]}{\partial j} \{J\} - \frac{[\Phi]^T}{\bar{r}} \frac{\partial[\Phi]}{\partial j} \{u\} \right) dV + \\
 & + \frac{\tilde{R}^2}{\text{Re}} \int_V \left\{ \frac{\partial[\Phi]^T}{\partial \bar{r}} \frac{\partial[\Phi]}{\partial \bar{r}} - \frac{3[\Phi]^T}{\bar{r}} \frac{\partial[\Phi]}{\partial \bar{r}} + \frac{1}{\bar{r}^2} \frac{\partial[\Phi]^T}{\partial j} \frac{\partial[\Phi]}{\partial j} - \bar{r} [\Phi]^T \frac{\sqrt{1-(z_* - \bar{a})^2} ((z_* - \bar{a})^2 + 1) - \bar{b}}{(1-(z_* - \bar{a})^2)^{3/2}} \frac{\partial[\Phi]}{\partial \bar{r}} + \right. \\
 & + 2[\Phi]^T \bar{r} \left( \frac{(z_* - \bar{a})}{\sqrt{1-(z_* - \bar{a})^2}} \right)^2 \frac{\partial[\Phi]}{\partial \bar{r}} - \frac{2[\Phi]^T \bar{R}(z_* - \bar{a})}{\sqrt{1-(z_* - \bar{a})^2}} \frac{\partial[\Phi]}{\partial \bar{z}} + \\
 & + \left. \left( \frac{\bar{r}(z_* - \bar{a})}{\sqrt{1-(z_* - \bar{a})^2}} \right)^2 \frac{\partial[\Phi]^T}{\partial \bar{r}} \frac{\partial[\Phi]}{\partial \bar{r}} - \frac{2\bar{r}\bar{R}(z_* - \bar{a})}{\sqrt{1-(z_* - \bar{a})^2}} \frac{\partial[\Phi]^T}{\partial \bar{r}} \frac{\partial[\Phi]}{\partial \bar{z}} + \bar{R}^2 \frac{\partial[\Phi]^T}{\partial \bar{z}} \frac{\partial[\Phi]}{\partial \bar{z}} - \frac{2[\Phi]^T}{\bar{r}^3 N} \frac{\partial[\Phi]}{\partial j} \right\} \{J\} dV + \\
 & + \frac{1}{2} \int_V [\Phi]^T [\Phi] \left\{ \frac{\partial[\Phi]}{\partial \bar{r}} \{u\} - \left( \frac{\bar{r}(z_* - \bar{a})}{\sqrt{1-(z_* - \bar{a})^2}} \frac{\partial[\Phi]}{\partial \bar{r}} - \bar{R} \frac{\partial[\Phi]}{\partial \bar{z}} \right) \{w\} + \frac{N}{\tilde{R}} \frac{\partial[\Phi]}{\partial j} \{J\} + \frac{[\Phi]\{u\}}{\bar{r}} \right\} \{J\} dV = 0, \\
 & (25)
 \end{aligned}$$

$$\begin{aligned}
 & \int_V [\Phi]^T [\Phi] \left\{ [u] \frac{\partial [\Phi]}{\partial \bar{r}} + \frac{N \{J\} \partial [\Phi]}{\bar{R}} - \{w\} \left( \frac{\bar{r}(z_* - \bar{a})}{\sqrt{1 - (z_* - \bar{a})^2}} \frac{\partial [\Phi]}{\partial \bar{r}} - \bar{R} \frac{\partial [\Phi]}{\partial \bar{z}} \right) \right\} \{w\} dV + \\
 & + \frac{1}{e} \int_V \left( \frac{\bar{r}(z_* - \bar{a})}{\sqrt{1 - (z_* - \bar{a})^2}} \left( \frac{\partial [\Phi]^T \partial [\Phi]}{\partial \bar{r}} \{u\} - \left( \frac{(z_* - \bar{a}) [\Phi]^T \partial [\Phi]}{\sqrt{1 - (z_* - \bar{a})^2}} + \frac{\bar{r}(z_* - \bar{a})}{\sqrt{1 - (z_* - \bar{a})^2}} \frac{\partial [\Phi]^T \partial [\Phi]}{\partial \bar{r}} - \bar{R} \frac{\partial [\Phi]^T \partial [\Phi]}{\partial \bar{r} \partial \bar{z}} \right) \{w\} - \right. \\
 & \left. - \frac{N \partial [\Phi]^T \partial [\Phi]}{\bar{R}} \frac{\partial [\Phi]}{\partial \bar{z}} \{J\} - \frac{[\Phi]^T [\Phi] \{u\}}{\bar{r}^2} + \frac{[\Phi]^T \partial [\Phi] \{u\}}{\bar{r}} \right) - \bar{R} \left( \frac{\partial [\Phi]^T \partial [\Phi] \{u\}}{\partial \bar{z}} - \left( \frac{\bar{r}(z_* - \bar{a})}{\sqrt{1 - (z_* - \bar{a})^2}} \frac{\partial [\Phi]^T \partial [\Phi]}{\partial \bar{z}} - \bar{R} \frac{\partial [\Phi]^T \partial [\Phi]}{\partial \bar{z} \partial \bar{z}} \right) \{w\} + \right. \\
 & \left. + \frac{N \partial [\Phi]^T \partial [\Phi]}{\bar{R}} \frac{\partial [\Phi]}{\partial \bar{z}} \{J\} + \frac{[\Phi]^T \partial [\Phi] \{u\}}{\bar{r}} \right) \Bigg\} dV + \frac{\bar{R}}{\text{Re}_V} \int_V \left\{ \frac{\partial [\Phi]^T \partial [\Phi]}{\partial \bar{r}} + \frac{[\Phi]^T \partial [\Phi]}{\bar{r}} + \frac{1}{\bar{r}^2} \frac{\partial [\Phi]^T \partial [\Phi]}{\partial j} \right. \\
 & \left. - \bar{r} [\Phi]^T \frac{\sqrt{1 - (z_* - \bar{a})^2} \left( (z_* - \bar{a})^2 + 1 \right) - \bar{b}}{(1 - (z_* - \bar{a})^2)^{3/2}} \frac{\partial [\Phi]}{\partial \bar{r}} + 2 [\Phi]^T \bar{r} \left( \frac{(z_* - \bar{a})}{\sqrt{1 - (z_* - \bar{a})^2}} \right)^2 \frac{\partial [\Phi]}{\partial \bar{r}} - \right. \\
 & \left. - \frac{2 [\Phi]^T \bar{R} (z_* - \bar{a}) \partial [\Phi]}{\sqrt{1 - (z_* - \bar{a})^2} \partial \bar{z}} + \left( \frac{\bar{r}(z_* - \bar{a})}{\sqrt{1 - (z_* - \bar{a})^2}} \right)^2 \frac{\partial [\Phi]^T \partial H}{\partial \bar{r} \partial \bar{r}} - \frac{2 \bar{r} \bar{R} (z_* - \bar{a})}{\sqrt{1 - (z_* - \bar{a})^2}} \frac{\partial [\Phi]^T \partial H}{\partial \bar{r} \partial \bar{z}} + \bar{R}^2 \frac{\partial [\Phi]^T \partial H}{\partial \bar{z} \partial \bar{z}} \right\} dV + \\
 & + \frac{1}{2} \int_V [\Phi]^T [\Phi] \left\{ \frac{\partial [\Phi]}{\partial \bar{r}} \{u\} - \left( \frac{\bar{r}(z_* - \bar{a})}{\sqrt{1 - (z_* - \bar{a})^2}} \frac{\partial [\Phi]}{\partial \bar{r}} - \bar{R} \frac{\partial [\Phi]}{\partial \bar{z}} \right) \{w\} + \frac{N \partial [\Phi]}{\bar{R}} \{J\} + \frac{[\Phi] \{u\}}{\bar{r}} \right\} \{w\} dV = 0,
 \end{aligned}$$

(26)

$$\begin{aligned}
 & \int_V [\Phi]^T [\Phi] \left\{ [u] \frac{\partial [\Phi]}{\partial \bar{r}} + \frac{N \{J\} \partial [\Phi]}{\bar{R}} - \{w\} \left( \frac{\bar{r}(z_* - \bar{a})}{\sqrt{1 - (z_* - \bar{a})^2}} \frac{\partial [\Phi]}{\partial \bar{r}} - \bar{R} \frac{\partial [\Phi]}{\partial \bar{z}} \right) \right\} \{w\} dV + \frac{\bar{R}}{Pe_V} \int_V \left\{ \frac{\partial [\Phi]^T \partial [\Phi]}{\partial \bar{r}} + \right. \\
 & \left. + \frac{1}{\bar{r}^2} \frac{\partial [\Phi]^T \partial [\Phi]}{\partial j} + \left( \frac{\bar{r}(z_* - \bar{a})}{\sqrt{1 - (z_* - \bar{a})^2}} \right)^2 \frac{\partial [\Phi]^T \partial [\Phi]}{\partial \bar{r} \partial \bar{r}} - \frac{2 \bar{r} \bar{R} (z_* - \bar{a})}{\sqrt{1 - (z_* - \bar{a})^2}} \frac{\partial [\Phi]^T \partial [\Phi]}{\partial \bar{r} \partial \bar{z}} + \bar{R}^2 \frac{\partial [\Phi]^T \partial [\Phi]}{\partial \bar{z} \partial \bar{z}} \right\} \{t_{жс}\} dV - \\
 & - \int_V [\Phi]^T \left\{ \frac{1}{\bar{r}} \frac{\partial [\Phi]}{\partial \bar{r}} + 2 \bar{r} \left( \frac{(z_* - \bar{a})}{\sqrt{1 - (z_* - \bar{a})^2}} \right)^2 \frac{\partial [\Phi]}{\partial \bar{r}} - \frac{2 \bar{R} (z_* - \bar{a})}{\sqrt{1 - (z_* - \bar{a})^2}} \frac{\partial [\Phi]}{\partial \bar{z}} + \bar{r} \frac{\sqrt{1 - (z_* - \bar{a})^2} \left( (z_* - \bar{a})^2 + 1 \right) - \bar{b}}{(1 - (z_* - \bar{a})^2)^{3/2}} \frac{\partial [\Phi]}{\partial \bar{r}} \right\} \{t_{жс}\} dV = 0,
 \end{aligned}$$

уравнение энергии

$$\begin{aligned}
 & \int_V [\Phi]^T [\Phi] \left\{ [u] \frac{\partial [\Phi]}{\partial \bar{r}} + \frac{N \{J\} \partial [\Phi]}{\bar{R}} - \{w\} \left( \frac{\bar{r}(z_* - \bar{a})}{\sqrt{1 - (z_* - \bar{a})^2}} \frac{\partial [\Phi]}{\partial \bar{r}} - \bar{R} \frac{\partial [\Phi]}{\partial \bar{z}} \right) \right\} \{t_{жс}\} dV + \frac{\bar{R}}{Pe_V} \int_V \left\{ \frac{\partial [\Phi]^T \partial [\Phi]}{\partial \bar{r}} + \right. \\
 & \left. + \frac{1}{\bar{r}^2} \frac{\partial [\Phi]^T \partial [\Phi]}{\partial j} + \left( \frac{\bar{r}(z_* - \bar{a})}{\sqrt{1 - (z_* - \bar{a})^2}} \right)^2 \frac{\partial [\Phi]^T \partial [\Phi]}{\partial \bar{r} \partial \bar{r}} - \frac{2 \bar{r} \bar{R} (z_* - \bar{a})}{\sqrt{1 - (z_* - \bar{a})^2}} \frac{\partial [\Phi]^T \partial [\Phi]}{\partial \bar{r} \partial \bar{z}} + \bar{R}^2 \frac{\partial [\Phi]^T \partial [\Phi]}{\partial \bar{z} \partial \bar{z}} \right\} \{t_{жс}\} dV - \\
 & - \int_V [\Phi]^T \left\{ \frac{1}{\bar{r}} \frac{\partial [\Phi]}{\partial \bar{r}} + 2 \bar{r} \left( \frac{(z_* - \bar{a})}{\sqrt{1 - (z_* - \bar{a})^2}} \right)^2 \frac{\partial [\Phi]}{\partial \bar{r}} - \frac{2 \bar{R} (z_* - \bar{a})}{\sqrt{1 - (z_* - \bar{a})^2}} \frac{\partial [\Phi]}{\partial \bar{z}} + \bar{r} \frac{\sqrt{1 - (z_* - \bar{a})^2} \left( (z_* - \bar{a})^2 + 1 \right) - \bar{b}}{(1 - (z_* - \bar{a})^2)^{3/2}} \frac{\partial [\Phi]}{\partial \bar{r}} \right\} \{t_{жс}\} dV = 0,
 \end{aligned}$$

(27)

уравнение теплопроводности стенок канала

$$\begin{aligned}
 & \int_V \left\{ \frac{\partial [\Phi]^T \partial [\Phi]}{\partial \bar{r}} + \frac{1}{(\bar{r} + 1)^2} \frac{\partial [\Phi]^T \partial [\Phi]}{\partial j} + \left( \frac{\bar{r} + 1}{\sqrt{1 - (z_* - \bar{a})^2}} \right)^2 \frac{\partial [\Phi]^T \partial [\Phi]}{\partial \bar{r} \partial \bar{r}} - \frac{2(\bar{r} + 1)\bar{R}(z_* - \bar{a})}{\sqrt{1 - (z_* - \bar{a})^2}} \frac{\partial [\Phi]^T \partial [\Phi]}{\partial \bar{r} \partial \bar{z}} + \right. \\
 & \left. + \bar{R}^2 \frac{\partial [\Phi]^T \partial [\Phi]}{\partial \bar{z} \partial \bar{z}} \right\} \{t_c\} dV - \int_V [\Phi]^T \left\{ \frac{1}{\bar{r}} \frac{\partial [\Phi]}{\partial \bar{r}} + (\bar{r} + 1) \frac{\sqrt{1 - (z_* - \bar{a})^2} \left( (z_* - \bar{a})^2 + 1 \right) - \bar{b}}{(1 - (z_* - \bar{a})^2)^{3/2}} \frac{\partial [\Phi]}{\partial \bar{r}} + \right. \\
 & \left. + \frac{2 \bar{R} (z_* - \bar{a})}{\sqrt{1 - (z_* - \bar{a})^2}} \frac{\partial [\Phi]}{\partial \bar{z}} - 2(\bar{r} + 1) \left( \frac{(z_* - \bar{a})}{\sqrt{1 - (z_* - \bar{a})^2}} \right)^2 \frac{\partial [\Phi]}{\partial \bar{r}} \right\} \{t_c\} = 0,
 \end{aligned}$$

(28)

Уравнение теплопроводности ребра

$$\begin{aligned}
& \int_V \left\{ \frac{\partial[\Phi]^T}{\partial \bar{r}} \frac{\partial[\Phi]}{\partial \bar{r}} + \frac{1}{\bar{r}^2} \frac{\partial[\Phi]^T}{\partial j} \frac{\partial[\Phi]}{\partial j} + \left( \frac{\bar{r}(z_* - \bar{a})}{\sqrt{1 - (z_* - \bar{a})^2}} \right)^2 \frac{\partial[\Phi]^T}{\partial \bar{r}} \frac{\partial[\Phi]}{\partial \bar{r}} - \frac{2\bar{r}\bar{R}(z_* - \bar{a})}{\sqrt{1 - (z_* - \bar{a})^2}} \frac{\partial[\Phi]^T}{\partial \bar{r}} \frac{\partial[\Phi]}{\partial \bar{z}} + \right. \\
& \left. + \bar{R}^2 \frac{\partial[\Phi]^T}{\partial \bar{r}} \frac{\partial[\Phi]}{\partial \bar{r}} \right\} \left\{ t_p \right\} dV - \int_V [\Phi]^T \left\{ \frac{1}{\bar{r}} \frac{\partial[\Phi]}{\partial \bar{r}} + 2\bar{r} \left( \frac{z_* - \bar{a}}{\sqrt{1 - (z_* - \bar{a})^2}} \right)^2 \frac{\partial[\Phi]}{\partial \bar{r}} - \frac{2\bar{R}(z_* - \bar{a})}{\sqrt{1 - (z_* - \bar{a})^2}} \frac{\partial[\Phi]}{\partial \bar{z}} + \right. \\
& \left. + \bar{r} \frac{\sqrt{1 - (z_* - \bar{a})^2} \left( (z_* - \bar{a})^2 + 1 \right) - \bar{b}}{(1 - (z_* - \bar{a})^2)^{3/2}} \frac{\partial[\Phi]}{\partial \bar{r}} \right\} \left\{ t_p \right\} dV + \frac{2\bar{a}}{1d} \int_V [\Phi]^T [\Phi] \left\{ t_p \right\} \left\{ t_{жс} \right\} dV = 0.
\end{aligned} \quad (29)$$

Полученная система алгебраических уравнений является нелинейной. Для линеаризации этой системы предполагается использовать метод Ньютона, а для решения систем линейных уравнений, возникающих на каждом шаге метода Ньютона, – метод сопряженных градиентов. Предложенный алгоритм позволит определить параметры давления, компоненты скоростей и температур в стенках, ребре и проточной части каналов в зависимости от чисел закрутки, критериев Рейнольдса и Пекле.

### Заключение

Разработана полная математическая модель задачи сопряженного теплообмена во вращающемся с постоянной скоростью оребренном криволинейном канале типа «конфузор-диффузор».

Численная реализация полученной математической модели позволит определить поле скоростей, давлений и температур в проточной части каналов конфузорно-диффузорного типа, оценить характер распространения тепла путем теплопроводности в ребрах и стенке, уточнить методику теплового расчета оребренных поверхностей в аппаратах типа «труба в трубе» с учетом трехмерной модели распространения тепла в ребре, построенной на уравнении Пуассона.

### СПИСОК ЛИТЕРАТУРЫ

1. Золотонос А.Я. Конструкции теплообменных аппаратов типа «труба в трубе» с вращающейся поверхностью теплообмена «конфузор-диффузор» // Сборник научных трудов КазГАСУ. – Казань, 2009. – С. 19-23.
2. Золотонос А.Я., Золотонос Я.Д., Белавина Т.В. Математическая модель теплопроводности в длинном ребре переменной высоты с учетом изменения условий теплообмена // Известия КазГАСУ, 2009, № 2 (12). – С. 190-196.
3. Антонов С.Ю., Антонова А.В., Золотонос Я.Д. Математическая модель конфигурации эллиптических пружинно-витых каналов теплообменных устройств // Известия КазГАСУ, 2009, № 2 (12). – С. 173-178.
4. Пантелеева Л.Р. Теплообмен при ламинарном течении вязкой жидкости в теплообменных устройствах типа «труба в трубе» с вращающейся поверхностью «конфузор-диффузор» // Дис. ... канд. техн. наук. – Казань, 2005. – 116 с.
5. Лойцянский Л.Г. Механика жидкости и газа. – М: Наука, 1987. – 840 с.
6. Золотонос А.Я., Золотонос Я.Д. Сопряженная задача теплообмена при ламинарном течении вязкой жидкости во вращающемся осесимметричном криволинейном канале типа «конфузор-диффузор» // Сборник научных трудов КазГАСУ. – Казань, 2009. – С. 8-12.
7. Роже Пейре, Томас Д. Тейлор. Вычислительные методы в задачах механики жидкости. – Л.: Гидрометеиздат, 1986. – 352 с.
8. Белавина Т.В. Теплообмен при ламинарном течении жидкости в роторе центробежного пароструйного подогревателя // Дис... канд. техн. наук. – Казань, 2009. – 141 с.
9. Багоутдинова А.Г. Модернизация узла подготовки горячей воды на базе вращающегося малоинерционного теплообменного аппарата в технологии приготовления суспензии стеарата кальция. – Казань, 2007. – 133 с.